

# 基于 UHPLC-LTQ-Orbitrap 的 发酵玫瑰茄化学成分筛查和研究

王喻淇<sup>1</sup>, 梅晓丹<sup>1</sup>, 李洁<sup>1</sup>, 宋帅<sup>2</sup>, 马涛<sup>2</sup>, 林峰<sup>1,2</sup>, 张加余<sup>3</sup>

(1. 北京中医药大学中药学院,北京 102400; 2. 江苏柳健生命科技发展有限公司,北京 100176;

3. 北京中医药大学北京中医药研究院,北京 100029)

**摘要:**本研究采用高效液相色谱-线性离子阱-静电场轨道质谱(UHPLC-LTQ-Orbitrap MS)技术,在电喷雾负离子模式下,对玫瑰茄水提液及其发酵液中有机酸类、黄酮类、花青素类和木质素类化学成分进行分析鉴定。选取 Agilent Zorbax SB C18 色谱柱(250 mm×4.6 mm×5 μm),以 0.1%甲酸水溶液(A)-甲醇(B)为流动相,流速 1 mL/min,梯度洗脱分析。根据高分辨质谱提供的精确相对分子质量数据和多级质谱碎片离子,获取目标化合物的相对分子质量和结构信息。结合保留时间、对照品及相关参考文献等信息,共筛选鉴定出 41 种化合物,包括 34 种有机酸类、4 种黄酮类、2 种花青素类以及 1 种木脂素类。结果表明,玫瑰茄发酵前后,其活性成分的种类及含量均呈现不同程度的变化,该方法阐明了玫瑰茄发酵前后化学成分的变化,可为玫瑰茄的进一步研究提供参考。

**关键词:**玫瑰茄;发酵;活性成分;高效液相色谱-线性离子阱-静电场轨道阱质谱(UHPLC-LTQ-Orbitrap MS)

**中图分类号:**O657.63

**文献标志码:**A

**文章编号:**1004-2997(2019)01-0050-10

**doi:**10.7538/zpxb.2018.0078

## Identification of Chemical Constituents in Fermented *Hibiscus sabdariffa* L. by UHPLC-LTQ-Orbitrap Mass Spectrometer

WANG Yu-qi<sup>1</sup>, MEI Xiao-dan<sup>1</sup>, LI Jie<sup>1</sup>, SONG Shuai<sup>2</sup>, MA Tao<sup>2</sup>, LIN Feng<sup>1,2</sup>, ZHANG Jia-yu<sup>3</sup>

(1. School of Chinese Pharmacy, Beijing University of Chinese Medicine, Beijing 102400, China;

2. Jiangsu LiJian Life Science and Technology Development Co., LTD, Beijing 100176, China;

3. Beijing Institution of Chinese Medicine, Beijing University of Chinese Medicine, Beijing 100029, China)

**Abstract:** Fermented traditional Chinese medicines (TCMs) dated to classic age and its modern research develops more in-depth. Fermentation plays an important role in toxicity reducing and efficacy enhancing for TCMs, but its material basis is inadequate. *Hibiscus sabdariffa* L. is a homology of medicine and food plant that has a good development of medicinal and utilization of value with its rich nutrient. It has too much con-

收稿日期:2018-06-28;修回日期:2018-09-19

基金项目:2017 年北京市科技新星与领军人才培养专项计划(Z171100001117029)资助

作者简介:王喻淇(1994—),女(蒙古族),辽宁人,硕士研究生,从事中药分析工作。E-mail: wyqi1994@163.com

通信作者:张加余(1981—),男(汉族),山东人,副研究员,从事中药质量控制及体内代谢研究。E-mail: zhangjiayu0615@163.com

林峰(1983—),男(汉族),江苏人,高级工程师,从事中药发酵学研究。E-mail: linfeng\_leo@163.com

tent of phenolic acid to taste sour and hard to accept. Studies have shown that fermentation broth from *Hibiscus sabdariffa* L. developed a nutrient-rich, sweet and sour and refreshing, unique flavor, with good stability product. In order to demonstrate which constituent has been changed during fermentation, ultra-high performance liquid chromatography coupled with linear ion trap-Orbitrap mass spectrometry (UHPLC-LTQ-Orbitrap MS) equipped with an ESI ion source at negative mode was used for comprehensive study of the chemical constituents of aqueous extracts and fermentation broth from *Hibiscus sabdariffa* L.. Separation was performed with an Agilent Zorbax SB C18 column (250 mm×4.6 mm×5 μm) with 0.1% formic aqueous solution and methanol as the mobile phase with the speed of 1 mL/min under the gradient condition. Based on the accurate mass measurement (error<5×10<sup>-6</sup>), MS/MS fragmentation pathways, different chromatographic behaviors and compared with the standards and references, a total of 41 compounds, including 34 organic acids, 4 flavonoids, 2 anthocyanins and 1 lignan are tentatively identified and characterized. The results showed that the varieties and concentration of *Hibiscus sabdariffa* L. change in different degrees and they provide the scientific basis for the statement for *Hibiscus sabdariffa* L. and the changes of its chemical constituents after fermentation.

**Key words:** *Hibiscus sabdariffa* L.; fermentation; chemical constituents; UHPLC-LTQ-Orbitrap MS

玫瑰茄(*Hibiscus sabdariffa* L.)又名洛神花、红果梅以及红角葵等,为锦葵科(*Malvaceae*)木槿属一年生草本植物,原产于西非至南亚,现广泛分布于全球热带和亚热带地区,我国台湾、福建、广东和云南南部等地大规模引入栽培<sup>[1]</sup>。作为一种药食两用植物,玫瑰茄含丰富的有机酸,例如木槿酸、柠檬酸和原儿茶酸等<sup>[2-3]</sup>。木槿酸是玫瑰茄花萼中的一种特殊物质,对心脏病、高血压、动脉硬化等有较好的疗效。此外,玫瑰茄含有的黄酮类、花色素类、木脂素类、还原糖类成分对肠道具有抑菌作用,并能促进胆汁分泌,预防心血管疾病<sup>[4-8]</sup>。因此,玫瑰茄素有“植物红宝石”的美誉。

玫瑰茄特有的营养价值、保健价值及药用价值决定了其具有广阔的应用开发前景。然而,玫瑰茄富含酚酸类成分,口感酸涩,直接食用或饮用对胃肠道具有一定的刺激性,导致相关产品的商品形式较为单一,资源利用不充分<sup>[9-11]</sup>。玫瑰茄发酵后口感醇厚、酸甜适宜,已被广泛用于制作发酵饮料和发酵果酒等<sup>[12-13]</sup>。鉴于玫瑰茄发酵后的化学物质基础尚不明确,本研究将基于 UHPLC-LTQ-Orbitrap MS 技术阐明玫瑰茄发酵过程中主要化学成分的变

化,以期促进玫瑰茄资源的开发和利用,并为其发酵研究提供相关数据。

## 1 实验部分

### 1.1 仪器与装置

DIONEX Ultimate 3000 高效液相色谱仪,LTQ-Orbitrap XL 质谱:美国 Thermo Scientific 公司产品,配有电喷雾离子源(ESI)和 Xcalibur 2.1 工作站;R200D 型电子分析天平(十万分之一):德国 Sartorius 公司产品;Millipore Synergy UV 型超纯水机:美国 Millipore 公司产品;KQ-250 DE 型数控超声波清洗器:昆山市超声仪器有限公司产品。

### 1.2 试剂与材料

没食子酸、儿茶素、槲皮素、原儿茶酸和矢车菊-3-O-葡萄糖苷等 5 种对照品:纯度均不低于 98%,成都曼思特生物科技有限公司产品;甲醇、甲酸:均为质谱级,美国 Fisher 公司产品;超纯水:由 Millipore 超纯水机制备。

玫瑰茄药材:购自亳州市华云中药饮片有限公司,经北京中医药大学张媛副教授鉴定为锦葵科木槿属草本植物玫瑰茄(*Hibiscus sabdariffa* L.)的干燥花萼。

### 1.3 溶液配制

混合对照品溶液的制备:分别取适量上述5种对照品,精密称定,加入甲醇制成浓度约为100 mg/L的储备液,使用时稀释成适宜浓度的混合对照品溶液。

玫瑰茄供试品溶液的制备:取30 g玫瑰茄药材粉末,精密称定,加入300 mL水混合搅拌均匀后,加入一定量的K<sub>2</sub>HPO<sub>4</sub>、NaHCO<sub>3</sub>等,调至pH 5.8~6.0;然后加入20 g蛋白胨、80 g白砂糖,定容至1 000 mL;在90 ℃水浴条件下灭菌30 min后,以0.22 μm微孔滤膜过滤,即得供试品溶液。

发酵玫瑰茄供试品溶液的制备:取30 g玫瑰茄药材粉末,精密称定,加入300 mL水混合搅拌均匀后,加入K<sub>2</sub>HPO<sub>4</sub>调至pH 4.5~5.0;然后在混合液中添加1 g纤维素酶、1 g果胶酶,于50 ℃下酶解90 min;加入K<sub>2</sub>HPO<sub>4</sub>、NaHCO<sub>3</sub>等,调至pH 5.8~6.0,再加入20 g蛋白胨、80 g白砂糖,定容至1 000 mL;溶液在90 ℃水浴条件下灭菌30 min,待温度降至室温,接种肠膜明串株菌肠膜亚种发酵(培养温度25 ℃,发酵20天);取发酵后溶液过滤,滤液过0.22 μm微孔滤膜,即得供试品溶液。

### 1.4 实验条件

**1.4.1 色谱条件** Agilent Zorbax SB C18色谱柱(250 mm×4.6 mm×5 μm);流动相:0.1%

甲酸水溶液(A)-甲醇(B);梯度洗脱条件:0~10 min(5% B),10~16 min(5%~11% B),16~66 min(11%~51% B),66~70 min(51%~55% B);流速1 mL/min;柱温25 ℃;进样量10 μL。

**1.4.2 质谱条件** ESI离子源,负离子检测模式;流动相经柱后分流进入质谱检测器的流速为0.3 mL/min;毛细管温度350 ℃;鞘气流速9 L/min;辅助气流速3 L/min;喷雾电压3.0 kV;毛细管电压-35 V;管透镜电压-110 V;源内碰撞诱导裂解池碰撞能量(CID)35%。样品采用高分辨FT进行全扫描(full scan, FS),一级扫描分辨率30 000,质量扫描范围m/z 50~1 000。

### 1.5 数据处理

利用Xcalibur2.1工作站进行数据处理,采用分子式预测模块预测所有母离子的分子式,相关参数设定为C[0-35]、H[0-50]、O[0-30]、环不饱和双键数(RDB equivalent value)[0-15],质量精度误差在5×10<sup>-6</sup>以内。

## 2 结果与讨论

采用HPLC-LTQ-Orbitrap MS法分析鉴定玫瑰茄发酵前后的化学成分。根据所获得的精确分子质量,结合相应的色谱保留行为、质谱裂解规律、特征碎片离子以及与对照品比对,最终鉴定出41种化学成分,其中有5种化学成分被准确鉴定,结果示于图1和表1。

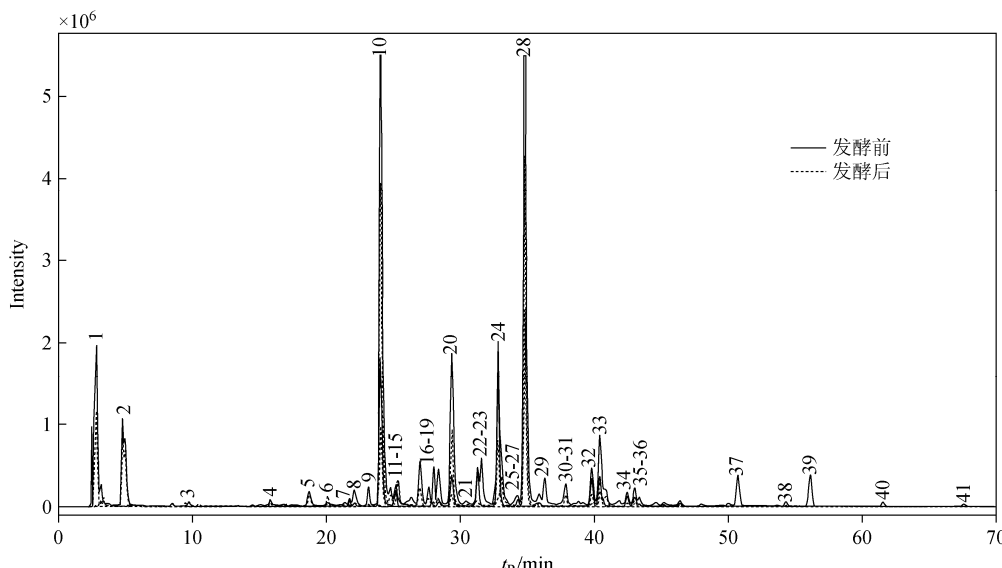


图1 玫瑰茄发酵前后的总离子流图

Fig. 1 TIC of water extract and fermentation broth of *Hibiscus sabdariffa* L.

表 1 UHPLC-LTQ-Orbitrap-MS 对玫瑰茄发醇前后化学成分的鉴定分析  
Table 1 Characterization of chemical constituents in water extract and fermentation broth from *Hibiscus sabdariffa* L. by UHPLC-LTQ-Orbitrap MS

| 序号<br>Peak | 保留<br>时间<br><i>t<sub>R</sub></i> /<br>min | 分子式<br>Formula<br>[M-H] <sup>-</sup>            | 理论值<br>( <i>m/z</i> ) | 实际值<br>Experimental<br>mass<br>( <i>m/z</i> ) | 误差<br>Error/<br>×10 <sup>-6</sup> | 裂解碎片<br>MS/MS fragment ions                                    |     | 鉴定结果<br>Identification results |   | 发酵前<br>Water<br>extract | 发酵后<br>Fermentation<br>broth |
|------------|---|---|-----------------------|---|-----------------------------------|--|-----|--------------------------------|---|-------------------------|------------------------------|
|            |   |   |                       |   |                                   | MS <sup>2</sup> [207]:189(100),127(21),83(1)                   | 木槿酸 | + +                            | + |                         |                              |
| M1         | 2.76                                      | C <sub>6</sub> H <sub>7</sub> O <sub>8</sub>    | 207.01464             | 207.01453                                     | 4.765                             |  |     |                                |   |                         |                              |
| M2         | 4.83                                      | C <sub>6</sub> H <sub>7</sub> O <sub>7</sub>    | 191.01973             | 191.01965                                     | 4.345                             | MS <sup>2</sup> [191]:111(100),173(20),129(3),131(2),87(1)     |     |                                |   |                         |                              |
| M3*        | 9.50                                      | C <sub>7</sub> H <sub>5</sub> O <sub>5</sub>    | 169.01425             | 169.01447                                     | 3.811                             | MS <sup>2</sup> [169]:125(100),135(1),53(0.5)                  |     |                                |   |                         |                              |
| M4         | 15.92                                     | C <sub>7</sub> H <sub>5</sub> O <sub>4</sub>    | 153.01933             | 153.01967                                     | 3.377                             | MS <sup>2</sup> [153]:109(100),125(2)                          |     |                                |   |                         |                              |
| M5*        | 18.7                                      | C <sub>7</sub> H <sub>5</sub> O <sub>4</sub>    | 153.01933             | 153.01929                                     | 3.894                             | MS <sup>2</sup> [153]:109(100),125(2)                          |     |                                |   |                         |                              |
| M6         | 20.21                                     | C <sub>7</sub> H <sub>5</sub> O <sub>5</sub>    | 169.01425             | 169.01440                                     | 3.397                             | MS <sup>2</sup> [169]:125(100),141(2),151(1)                   |     |                                |   |                         |                              |
| M7         | 21.72                                     | C <sub>22</sub> H <sub>27</sub> O <sub>14</sub> | 515.14063             | 515.14087                                     | 2.598                             | MS <sup>2</sup> [515]:179(100),341(63),353(57),191(15),173(10) |     |                                |   |                         |                              |
| M8         | 22.10                                     | C <sub>9</sub> H <sub>7</sub> O <sub>4</sub>    | 179.03498             | 179.03520                                     | 2.344                             | MS <sup>2</sup> [179]:135(100),107(0.5),151(0.4),133(0.4)      |     |                                |   |                         |                              |
| M9         | 23.29                                     | C <sub>22</sub> H <sub>27</sub> O <sub>14</sub> | 515.14063             | 515.14099                                     | 2.831                             | MS <sup>2</sup> [515]:341(100),179(21),221(13),353(7),191(1)   |     |                                |   |                         |                              |
| M10        | 24.01                                     | C <sub>16</sub> H <sub>17</sub> O <sub>9</sub>  | 353.08781             | 353.08731                                     | 1.704                             | MS <sup>2</sup> [353]:191(100),179(49),135(9),173(4)           |     |                                |   |                         |                              |
| M11        | 24.08                                     | C <sub>9</sub> H <sub>7</sub> O <sub>4</sub>    | 179.03498             | 179.03511                                     | 3.841                             | MS <sup>2</sup> [179]:135(100),107(0.2)                        |     |                                |   |                         |                              |
| M12        | 24.77                                     | C <sub>9</sub> H <sub>9</sub> O <sub>5</sub>    | 197.04554             | 197.04568                                     | 4.243                             | MS <sup>2</sup> [197]:153(100),182(11),121(7),138(3)           |     |                                |   |                         |                              |
| M13        | 25.34                                     | C <sub>22</sub> H <sub>27</sub> O <sub>14</sub> | 515.14063             | 515.14105                                     | 2.947                             | MS <sup>2</sup> [515]:341(100),353(76),179(58),335(26),191(20) |     |                                |   |                         |                              |
| M14        | 26.06                                     | C <sub>22</sub> H <sub>27</sub> O <sub>14</sub> | 515.14063             | 515.14124                                     | 3.316                             | MS <sup>2</sup> [515]:353(100),191(64),341(7),179(5),247(4)    |     |                                |   |                         |                              |
| M15        | 27.10                                     | C <sub>9</sub> H <sub>9</sub> O <sub>5</sub>    | 197.04554             | 197.04579                                     | 3.801                             | MS <sup>2</sup> [197]:182(100),153(19),138(7)                  |     |                                |   |                         |                              |
| M16        | 28.10                                     | C <sub>22</sub> H <sub>27</sub> O <sub>14</sub> | 515.14063             | 515.14130                                     | 3.432                             | MS <sup>2</sup> [515]:353(100),495(95),191(92),323(29),341(28) |     |                                |   |                         |                              |
| M17        | 28.24                                     | C <sub>9</sub> H <sub>7</sub> O <sub>4</sub>    | 179.03498             | 179.03519                                     | 3.288                             | MS <sup>2</sup> [179]:135(100),179(0.5)                        |     |                                |   |                         |                              |
| M18        | 29.31                                     | C <sub>9</sub> H <sub>7</sub> O <sub>3</sub>    | 163.04006             | 163.04018                                     | 3.418                             | MS <sup>2</sup> [163]:119(100),163(0.2)                        |     |                                |   |                         |                              |
| M19        | 29.34                                     | C <sub>16</sub> H <sub>17</sub> O <sub>8</sub>  | 337.09289             | 337.09244                                     | 1.917                             | MS <sup>2</sup> [337]:163(100),191(8),173(6),119(6)            |     |                                |   |                         |                              |
| M20        | 29.81                                     | C <sub>22</sub> H <sub>27</sub> O <sub>14</sub> | 515.14063             | 515.14124                                     | 3.316                             | MS <sup>2</sup> [515]:341(100),353(63),179(49),173(44)         |     |                                |   |                         |                              |

续表 1

| 序号<br>Peak | 保留<br>时间<br><i>t</i> <sub>R</sub> /<br>min | 分子式<br>Formula<br>[M-H] <sup>-</sup>            | 理论值                                   |                             | Experimental<br>mass<br>( <i>m/z</i> ) | Error/<br>×10 <sup>-6</sup>                                   | 裂解碎片                |                        | 鉴定结果                    |                              |
|------------|--|---|---------------------------------------|-----------------------------|--|---|---------------------|------------------------|-------------------------|------------------------------|
|            |  |   | Theoretical<br>mass<br>( <i>m/z</i> ) | Error/<br>×10 <sup>-6</sup> |  |   | MS/MS fragment ions | Identification results | 发酵前<br>Water<br>extract | 发酵后<br>Fermentation<br>broth |
| M21*       | 29.98                                      | C <sub>15</sub> H <sub>13</sub> O <sub>6</sub>  | 289.07176                             | 289.07166                   | 3.443                                  | MS <sup>2</sup> [289]:245(100),205(39),179(13),203(9)         | 儿茶素                 | +                      | —                       | —                            |
| M22        | 31.35                                      | C <sub>22</sub> H <sub>27</sub> O <sub>4</sub>  | 515.14063                             | 515.14111                   | 3.064                                  | MS <sup>2</sup> [515]:341(100),173(19),323(10),353(8),179(7)  | 单咖啡酰奎宁酸葡萄糖苷         | +                      | +                       | —                            |
| M23        | 31.7                                       | C <sub>7</sub> H <sub>5</sub> O <sub>4</sub>    | 153.01933                             | 153.01938                   | 3.789                                  | MS <sup>2</sup> [153]:109(100),125(1)                         | 原儿茶酸/isomer         | +                      | —                       | —                            |
| M24        | 32.90                                      | C <sub>16</sub> H <sub>17</sub> O <sub>9</sub>  | 353.08781                             | 353.08722                   | 1.449                                  | MS <sup>2</sup> [353]:191(100),179(3),135(0.5)                | 绿原酸                 | +                      | +                       | +                            |
| M25        | 33.01                                      | C <sub>10</sub> H <sub>9</sub> O <sub>4</sub>   | 193.05063                             | 193.05048                   | 4.894                                  | MS <sup>2</sup> [193]:134(100),149(33),178(4)                 | 阿魏酸/isomer          | +                      | +                       | +                            |
| M26        | 33.1                                       | C <sub>9</sub> H <sub>7</sub> O <sub>3</sub>    | 163.04006                             | 163.04021                   | 3.602                                  | MS <sup>2</sup> [163]:119(100),89(0.2)                        | 对香豆酸/isomer         | +                      | +                       | +                            |
| M27        | 34.3                                       | C <sub>22</sub> H <sub>27</sub> O <sub>4</sub>  | 515.14063                             | 515.14124                   | 3.316                                  | MS <sup>2</sup> [515]:341(100),179(19),353(16),497(7)         | 单咖啡酰奎宁酸葡萄糖苷         | +                      | +                       | +                            |
| M28        | 34.84                                      | C <sub>16</sub> H <sub>17</sub> O <sub>9</sub>  | 353.08781                             | 353.08740                   | 1.958                                  | MS <sup>2</sup> [353]:173(100),179(56),191(16),135(7),155(2)  | 隐绿原酸                | +                      | +                       | +                            |
| M29        | 36.24                                      | C <sub>6</sub> H <sub>7</sub> O <sub>8</sub>    | 207.01464                             | 207.01474                   | 2.779                                  | MS <sup>2</sup> [207]:189(100),191(53),127(18)                | 木槿酸/isomer          | +                      | —                       | —                            |
| M30        | 37.7                                       | C <sub>10</sub> H <sub>9</sub> O <sub>4</sub>   | 193.05063                             | 193.05089                   | 4.017                                  | MS <sup>2</sup> [193]:149(100),178(46),134(17),175(8)         | 阿魏酸/isomer          | +                      | +                       | +                            |
| M31*       | 37.90                                      | C <sub>21</sub> H <sub>19</sub> O <sub>11</sub> | 447.09328                             | 447.09418                   | 4.456                                  | MS <sup>2</sup> [447]:285(100),284(15),299(4),321(4),327(3)   | 矢车菊素-3-O-葡萄糖苷       | +                      | —                       | —                            |
| M32        | 39.82                                      | C <sub>16</sub> H <sub>17</sub> O <sub>8</sub>  | 337.09289                             | 337.09271                   | 2.718                                  | MS <sup>2</sup> [337]:191(100),163(6),173(1),179(0.5)         | 5-对香豆酰奎尼酸           | +                      | +                       | +                            |
| M33        | 40.47                                      | C <sub>16</sub> H <sub>17</sub> O <sub>8</sub>  | 337.09289                             | 337.09280                   | 2.985                                  | MS <sup>2</sup> [337]:173(100),163(9),191(1)                  | 4-对香豆酰奎尼酸           | +                      | +                       | +                            |
| M34        | 42.45                                      | C <sub>17</sub> H <sub>19</sub> O <sub>9</sub>  | 367.10346                             | 367.10388                   | 4.144                                  | MS <sup>2</sup> [367]:191(100),193(7),173(1)                  | 阿魏酰奎尼酸              | +                      | +                       | +                            |
| M35        | 43.02                                      | C <sub>17</sub> H <sub>19</sub> O <sub>9</sub>  | 367.10346                             | 367.10379                   | 3.899                                  | MS <sup>2</sup> [367]:173(100),193(10),161(8),191(2)          | 阿魏酰奎尼酸              | +                      | +                       | +                            |
| M36        | 43.48                                      | C <sub>9</sub> H <sub>9</sub> O <sub>5</sub>    | 197.04554                             | 197.04590                   | 4.359                                  | MS <sup>2</sup> [197]:153(100),182(93),121(7),138(7)          | 丁香酸/isomer          | +                      | +                       | +                            |
| M37        | 50.69                                      | C <sub>26</sub> H <sub>27</sub> O <sub>16</sub> | 595.13046                             | 595.13080                   | 2.418                                  | MS <sup>2</sup> [595]:300(100),301(28),445(17),463(13),255(8) | 飞燕草素-3-O-桑布双糖苷      | +                      | +                       | —                            |
| M38        | 54.37                                      | C <sub>22</sub> H <sub>25</sub> O <sub>8</sub>  | 417.15549                             | 417.15585                   | 3.490                                  | MS <sup>2</sup> [417]:191(100),402(63),166(36),371(14)        | 丁香脂素                | +                      | +                       | +                            |
| M39        | 56.01                                      | C <sub>27</sub> H <sub>29</sub> O <sub>16</sub> | 609.14611                             | 609.14642                   | 2.313                                  | MS <sup>2</sup> [609]:301(100),300(34),255(6),273(1),227(1)   | 芦丁                  | +                      | +                       | —                            |
| M40        | 61.56                                      | C <sub>27</sub> H <sub>29</sub> O <sub>15</sub> | 593.15119                             | 593.15167                   | 2.653                                  | MS <sup>2</sup> [593]:285(100),284(6),255(4),257(3),185(1)    | 山柰酚-3-O-芸香糖苷        | +                      | +                       | +                            |
| M41*       | 67.60                                      | C <sub>15</sub> H <sub>9</sub> O <sub>7</sub>   | 301.03538                             | 301.03506                   | 2.594                                  | MS <sup>2</sup> [301]:179(100),151(93),273(16),257(16)        | 槲皮素                 | +                      | +                       | +                            |

注：“\*”表示与标准品比对鉴定，“+”表示检出，“—”表示未检出

## 2.1 有机酸类成分的鉴定

有机酸是玫瑰茄中含量最高的一类成分,具有抗氧化、抗癌、抗炎症等作用。本实验从玫瑰茄提取液中鉴定出 34 种有机酸类成分,包括 16 种绿原酸类和 18 种小分子酚酸类;从玫瑰茄发酵液中鉴定出 29 种有机酸类成分,包括 15 种绿原酸类和 14 种小分子酚酸类。

**2.1.1 绿原酸类成分的鉴定** 绿原酸类成分是由反式肉桂酸,如咖啡酸(caffieic acid)、阿魏酸(ferulic acid)、对香豆酸(*p*-coumaric acid)和奎尼酸(quinic acid)及其衍生物缩合而成的酯类化合物。根据奎尼酸单元羟基成酯的数目,绿原酸类成分可大致分为单酯类、二酯类、三酯类等。

M19、M32 和 M33 的准分子离子峰 [ $M-H^-$ ] 分别为  $m/z$  337.092 44、337.092 71、337.092 80,推断它们可能的分子式为  $C_{16}H_{17}O_8$ ,误差在  $\pm 5 \times 10^{-6}$  范围内。在 ESI-MS<sup>2</sup> 质谱图中主要的特征碎片离子为  $m/z$  191 [quinic acid— $H^-$ ]、 $m/z$  173 [quinic acid— $H-H_2O^-$ ] 和  $m/z$  163 [*p*-

coumaric acid— $H^-$ ]。研究表明<sup>[14-15]</sup>,当对香豆酰基的酯化位置在 3、4 或 5 位时,所产生的 ESI-MS<sup>2</sup> 基峰离子分别为  $m/z$  163、173、191。结合该类成分的反相色谱保留行为,分别将 M19、M32 和 M33 鉴定为 3-对香豆酰奎尼酸、5-对香豆酰奎尼酸和 4-对香豆酰奎尼酸。

M10、M24 和 M28 的准分子离子峰 [ $M-H^-$ ] 均为  $m/z$  353.087 81,其可能的分子式为  $C_{16}H_{17}O_9$ ,误差在  $\pm 5 \times 10^{-6}$  范围内。分析三者的 ESI-MS<sup>2</sup> 碎片离子的种类,可知它们均属于单咖啡酰奎尼酸类成分。单咖啡酰奎尼酸类化合物在质谱裂解过程中产生  $m/z$  191 [quinic acid— $H^-$ ]、 $m/z$  179 [caffieic acid— $H^-$ ]、 $m/z$  173 [quinic acid— $H-H_2O^-$ ] 和  $m/z$  135 [caffieic acid— $H-CO_2^-$ ] 等特征碎片离子,可能的裂解途径示于图 2。当咖啡酰基在奎尼酸母核上的取代位置为 4 位时,ESI-MS<sup>2</sup> 基峰离子为  $m/z$  173,由此将 M28 鉴定为隐绿原酸;当咖啡酰基在奎尼酸母核上的取代位置为 3 位和 5 位时,它们的基峰离子均为  $m/z$  191,二者的最明

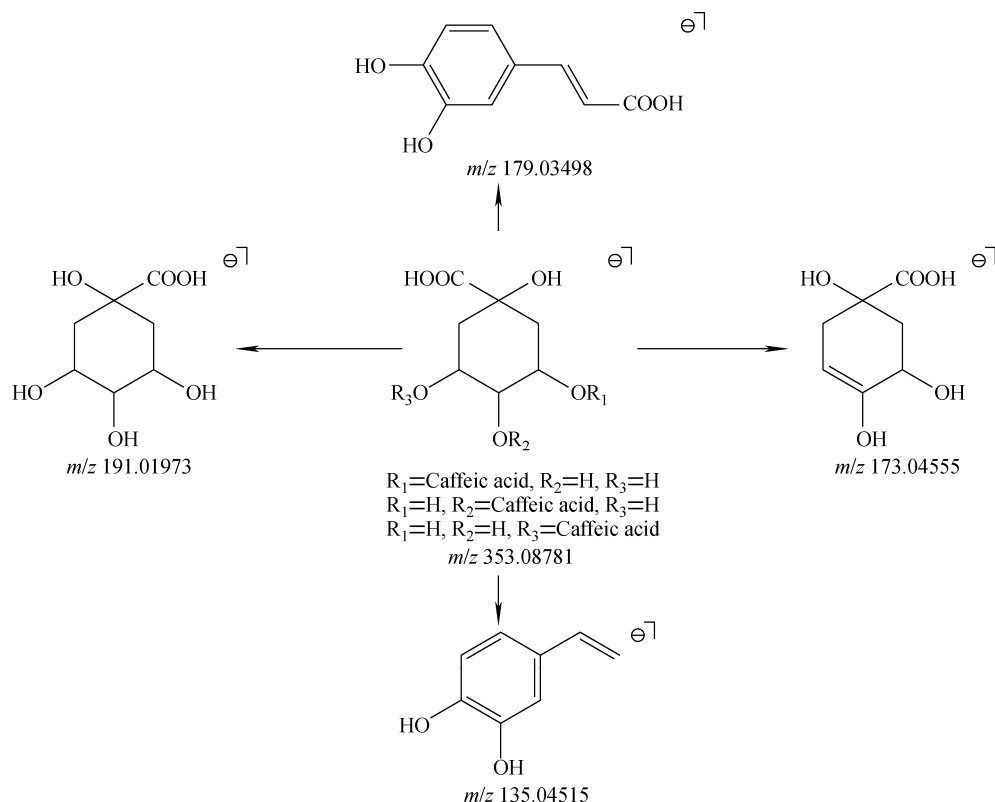


图 2 负离子模式下,单咖啡酰奎尼酸类成分的裂解途径

Fig. 2 Proposed fragmentation pathway for caffeoylquinic acid in negative ion mode

显区别在于  $m/z$  179 的相对丰度: M10 的  $m/z$  179 相对丰度  $>40\%$ , 为新绿原酸; M24 的  $m/z$  179 相对丰度  $<5\%$ , 为绿原酸<sup>[16]</sup>。

M34 和 M35 的准分子离子峰  $[M-H]^-$  分别为  $m/z$  367.103 88、367.103 79, 推断可能的分子式为  $C_{17}H_{19}O_9$ , 误差在  $\pm 5 \times 10^{-6}$  范围内。在 ESI-MS<sup>2</sup> 谱图的主要特征碎片离子为  $m/z$  193 [ferulic acid—H]<sup>-</sup>、 $m/z$  191 [quinic acid—H]<sup>-</sup>、 $m/z$  173 [quinic acid—H—H<sub>2</sub>O]<sup>-</sup>, 故推断二者均为阿魏酰奎尼酸类成分。根据参考文献[15], 将 M34 和 M35 分别鉴定为 3-阿魏酰奎尼酸和 4-阿魏酰奎尼酸。

M7、M9、M13、M14、M16、M20、M22 和 M28 的准分子离子峰  $[M-H]^-$  分别为  $m/z$  515.140 87、515.140 99、515.141 05、515.141 24、515.141 30、515.141 24、515.141 11、515.141 24, 推断它们的分子式为  $C_{22}H_{27}O_{14}$ , 误差均在  $\pm 5 \times 10^{-6}$  范围内。结合上述化合物, 经 CID 裂解后均产生  $m/z$  353 [M—H—caffeooyl/Glu]<sup>-</sup>、 $m/z$  335 [M—H—caffeooyl/Glu—H<sub>2</sub>O]<sup>-</sup>、 $m/z$  191 [quinic acid—H]<sup>-</sup> 特征碎片离子, 因此, 将它们鉴定为单咖啡酰奎尼酸葡萄糖苷类成分。

### 2.1.2 小分子酚酸类成分的鉴定

根据所获得的高分辨质谱数据, M1 和 M29 的准分子离子峰  $[M-H]^-$  分别为  $m/z$  207.014 53、207.014 74, 推断它们的分子式为  $C_6H_7O_8$ , 误差在  $\pm 5 \times 10^{-6}$  范围内。在 ESI-MS<sup>2</sup> 谱图中均产生  $m/z$  189 [M—H—H<sub>2</sub>O]<sup>-</sup> 和  $m/z$  127 [M—H—H<sub>2</sub>O—CO<sub>2</sub>]<sup>-</sup> 特征碎片离子, 因此将 M1 和 M29 鉴定为木槿酸及其同分异构体。

M2 的准分子离子峰  $[M-H]^-$  为  $m/z$  191.019 65, 推断其可能的分子式为  $C_6H_7O_7$ , 误差在  $\pm 5 \times 10^{-6}$  范围内。在 ESI-MS<sup>2</sup> 谱图中产生  $m/z$  173 [M—H—H<sub>2</sub>O]<sup>-</sup>、 $m/z$  129 [M—H—H<sub>2</sub>O—CO<sub>2</sub>]<sup>-</sup> 和  $m/z$  111 [M—H—2H<sub>2</sub>O—CO<sub>2</sub>]<sup>-</sup> 特征碎片离子, 故将其鉴定为柠檬酸。

M3 和 M6 的准分子离子峰  $[M-H]^-$  分别为  $m/z$  169.014 47、169.014 40, 推断其可能的分子式为  $C_7H_5O_5$ , 误差在  $\pm 5 \times 10^{-6}$  范围内。它们的基峰离子均为  $m/z$  125 [M—H—CO<sub>2</sub>]<sup>-</sup>, 结合对照品比对结果, 将 M3 鉴定为没食子酸, 同时将 M6 鉴定为没食子酸的同分异构体。

构体。

M4、M5 和 M23 的准分子离子峰  $[M-H]^-$  分别为  $m/z$  153.019 67、153.019 29、153.019 58, 推断其可能的分子式为  $C_7H_5O_4$ , 误差在  $\pm 5 \times 10^{-6}$  范围内。三者的 ESI-MS<sup>2</sup> 谱图均产生  $m/z$  125 [M—H—CO]<sup>-</sup> 和  $m/z$  109 [M—H—CO<sub>2</sub>]<sup>-</sup> 特征碎片离子, 结合对照品比对结果, 将 M5 鉴定为原儿茶酸, 将 M4 和 M23 鉴定为原儿茶酸的同分异构体。

M8、M11 和 M17 的准分子离子峰  $[M-H]^-$  分别为  $m/z$  179.035 20、179.035 11、179.035 19, 推断它们可能的分子式为  $C_9H_7O_4$ , 且误差在  $\pm 5 \times 10^{-6}$  范围内。在 ESI-MS<sup>2</sup> 谱图中均产生  $m/z$  179 [M—H]<sup>-</sup>、 $m/z$  135 [M—H—CO<sub>2</sub>]<sup>-</sup> 和  $m/z$  107 [M—H—CO—CO<sub>2</sub>]<sup>-</sup> 特征碎片离子, 故推断它们为咖啡酸及其同分异构体<sup>[17]</sup>。

M12、M15 和 M36 的准分子离子峰  $[M-H]^-$  分别为  $m/z$  197.045 68、197.045 79、197.045 90, 推断其可能的分子式为  $C_9H_9O_5$ , 且误差在  $\pm 5 \times 10^{-6}$  范围内。三者的 ESI-MS<sup>2</sup> 谱图均产生  $m/z$  182 [M—H—CH<sub>3</sub>]<sup>-</sup>、 $m/z$  153 [M—H—CO<sub>2</sub>]<sup>-</sup> 和  $m/z$  138 [M—H—CH<sub>3</sub>—CO<sub>2</sub>]<sup>-</sup> 特征碎片离子, 由此鉴定为丁香酸及其同分异构体。

M17 和 M26 的准分子离子峰  $[M-H]^-$  分别为  $m/z$  163.040 18、163.040 21, 推断其可能的分子式为  $C_9H_7O_3$ , 且误差在  $\pm 5 \times 10^{-6}$  范围内。二者的 ESI-MS<sup>2</sup> 谱图均产生  $m/z$  119 [M—H—CO<sub>2</sub>]<sup>-</sup> 的基峰离子, 由此鉴定为对香豆酸及其同分异构体。

M25 和 M30 的准分子离子峰  $[M-H]^-$  分别为  $m/z$  193.050 48、193.050 89, 推断其可能的分子式为  $C_{10}H_9O_4$ , 且误差在  $\pm 5 \times 10^{-6}$  范围内。二者的 ESI-MS<sup>2</sup> 谱图均产生  $m/z$  178 [M—H—CH<sub>3</sub>]<sup>-</sup>、 $m/z$  149 [M—H—CO<sub>2</sub>]<sup>-</sup> 和  $m/z$  134 [M—H—CO<sub>2</sub>—CH<sub>3</sub>]<sup>-</sup> 等碎片离子, 由此鉴定 M25 和 M30 为阿魏酸及其同分异构体<sup>[18]</sup>。

## 2.2 黄酮类成分的鉴定

玫瑰茄中的黄酮类化合物主要为黄酮醇和黄烷醇, 多以单体或聚合物的形式存在。本研究从玫瑰茄提取液中鉴定出 4 种黄酮类成分; 从玫瑰茄发酵液中鉴定出 2 种黄酮类成分。

M21 的准分子离子峰  $[M-H]^-$  为  $m/z$

289.071 66,推断其可能的分子式为  $C_{15}H_{13}O_6$ ,误差为  $3.443 \times 10^{-6}$ 。在 ESI-MS<sup>2</sup> 谱图中,  $m/z$  289 首先中性丢失 1 分子 CO<sub>2</sub>,产生碎片离子  $m/z$  245[M—H—CO<sub>2</sub>]<sup>-</sup>,同时产生  $m/z$  203[M—H—C<sub>2</sub>H<sub>2</sub>O—CO<sub>2</sub>]<sup>-</sup> 和  $m/z$  179[M—H—C<sub>2</sub>H<sub>2</sub>O—C<sub>3</sub>O<sub>2</sub>]<sup>-</sup> 等特征离子,结合对照品对比及相关文献<sup>[19]</sup>,将 M21 鉴定为儿茶素。

M39 的准分子离子峰[M—H]<sup>-</sup>为  $m/z$  609.146 42,推断其可能的分子式为  $C_{27}H_{29}O_{16}$ ,误差为  $2.313 \times 10^{-6}$ 。由文献[20]可知,芸香糖为 1 分子鼠李糖与 1 分子葡萄糖连接,在 CID 裂解过程中易直接丢失芸香糖残基,即减少 308 u。M39 经 CID 裂解后产生  $m/z$  301[M—H—Rha—Glu]<sup>-</sup>、 $m/z$  300[M—2H—Rha—Glu]<sup>-</sup>、 $m/z$  255[M—H—Rha—Glu—H<sub>2</sub>O—CO]<sup>-</sup> 基峰离子。其中, $m/z$  301 丢失 C 环羰基形成  $m/z$  273[M—H—Rha—Glu—CO]<sup>-</sup>, $m/z$  255 经重排并丢失 CO 形成  $m/z$  227[M—H—Rha—Glu—H<sub>2</sub>O—2CO]<sup>-</sup> 碎片离子。由此将 M39 鉴定为芦丁。同理,M40 的准分子离子峰[M—H]<sup>-</sup>为  $m/z$  593.151 67,推断其可能的分子式为  $C_{27}H_{29}O_{15}$ ,误差为  $2.653 \times 10^{-6}$ 。 $m/z$  593 经 CID 裂解后产生  $m/z$  285[M—H—Rha—Glu]<sup>-</sup> 和  $m/z$  284[M—2H—Rha—Glu]<sup>-</sup> 基峰离子。其中, $m/z$  285 丢失 C 环羰基形成  $m/z$  257[M—H—Rha—Glu—CO]<sup>-</sup> 碎片离子或开环重排生成  $m/z$  185[M—H—Rha—Glu—C<sub>4</sub>H<sub>4</sub>O<sub>3</sub>]<sup>-</sup> 碎片离子,由此推断 M40 为山奈酚芸香糖苷<sup>[21]</sup>。

M41 的准分子离子峰[M—H]<sup>-</sup>为  $m/z$  301.035 06,推断其可能的分子式为  $C_{15}H_9O_7$ ,误差为  $2.594 \times 10^{-6}$ 。在 ESI-MS<sup>2</sup> 谱图中,  $m/z$  301 通过 RDA 重排形成  $m/z$  151[M—H—C<sub>4</sub>H<sub>4</sub>O<sub>5</sub>—H<sub>2</sub>O]<sup>-</sup>。同时, $m/z$  301 丢失 C 环羰基形成  $m/z$  273[M—H—CO]<sup>-</sup>,并继续丢失 1 分子 H<sub>2</sub>O 形成  $m/z$  257[M—H—CO—H<sub>2</sub>O]<sup>-</sup>。结合对照品比对和文献[22],可将 M41 鉴定为槲皮素。

### 2.3 花青素类成分的鉴定

玫瑰茄花青素,也叫玫瑰茄花色苷、玫瑰茄红色素,是玫瑰茄花萼中富含的一种生理活性成分,主要包括飞燕草素-3-葡萄糖苷、矢车菊素-3-葡萄糖苷、飞燕草素-3-桑布双糖苷和矢车菊素-3-桑布双糖苷等。本研究从玫瑰茄提取

液中鉴定出 2 种花青素类成分;从玫瑰茄发酵液中鉴定出 1 种花青素类成分。

M31 的准分子离子峰[M—H]<sup>-</sup>为  $m/z$  447.094 18,推断其可能的分子式为  $C_{21}H_{19}O_{11}$ ,误差为  $4.456 \times 10^{-6}$ 。在 ESI-MS<sup>2</sup> 谱图中, $m/z$  447 离子中性丢失 1 分子葡萄糖残基,产生  $m/z$  285[M—H—Glu]<sup>-</sup> 和  $m/z$  284[M—2H—Glu]<sup>-</sup> 碎片离子。结合对照品比对,可将 M31 鉴定为矢车菊素-3-O-葡萄糖苷。

M37 的准分子离子峰[M—H]<sup>-</sup>为  $m/z$  595.130 80,推断其可能的分子式为  $C_{26}H_{27}O_{16}$ ,误差为  $2.418 \times 10^{-6}$ 。在 ESI-MS<sup>2</sup> 谱图中, $m/z$  595 易丢失 1 分子桑布双糖(Sam)形成  $m/z$  301[M—H—Sam]<sup>-</sup> 和  $m/z$  300[M—2H—Sam]<sup>-</sup>,并生成  $m/z$  255[M—H—Sam—H<sub>2</sub>O—CO]<sup>-</sup> 等碎片离子,由此可将 M37 鉴定为飞燕草素-3-O-桑布双糖苷。

### 2.4 木脂素类成分的鉴定

玫瑰茄作为锦葵科植物,含有一定量的木脂素类成分。本研究从玫瑰茄提取液和玫瑰茄发酵液中均鉴定出 1 种木脂素类成分。

根据所获得的高分辨质谱数据,M38 的准分子离子峰[M—H]<sup>-</sup>为  $m/z$  417.155 85,推断其可能的分子式为  $C_{22}H_{25}O_8$ ,误差为  $3.490 \times 10^{-6}$ 。在 ESI-MS<sup>2</sup> 谱图中,M38 离子产生  $m/z$  402[M—H—CH<sub>3</sub>]<sup>-</sup> 碎片离子,表明其结构式中含有甲氧基; $m/z$  191 丢失 1 分子 H<sub>2</sub>O 生成  $m/z$  166,同时还产生  $m/z$  371[M—H—CO<sub>2</sub>—H<sub>2</sub>O]<sup>-</sup>,由此可将 M38 鉴定为丁香脂素。

## 3 结论

本研究应用 UHPLC-LTQ-Orbitrap 高分辨质谱技术对玫瑰茄发酵前后的有机酸、黄酮、花青素及木脂素类化学成分进行分析检测。根据所获得的精确分子质量,同时结合色谱保留行为、质谱裂解规律、特征碎片离子、对照品比对以及相关文献报道,共鉴定出 41 种化学成分,包括 34 种有机酸类、4 种黄酮类、2 种花青素类及 1 种木脂素类。其中,从发酵前玫瑰茄提取液中鉴定出 41 种化学成分,从发酵玫瑰茄提取液中鉴定出 33 种化学成分。研究结果表明,玫瑰茄发酵前后其中有机酸成分的种类及含量发生不同程度的变化。例如,玫瑰茄发酵

液中的绿原酸类成分含量发生明显下降甚至消失,但仍保留了其特有的木槿酸、柠檬酸和花青素等有效成分,这可能就是玫瑰茄经发酵后其酸涩感和胃肠刺激性降低的主要原因。

其次,本研究优选肠膜明串株菌肠膜亚种对玫瑰茄进行发酵,该菌种作为可用于食品的菌种之一,自身有较好的发酵特性,且耐酸性佳,其强大的生物转化能力有益于玫瑰茄中活性成分的转化,提高药效。综上,本研究系统地阐明了玫瑰茄发酵前后的活性物质变化,可为多渠道、多途径开发玫瑰茄相关产品,提高相关产品的质量奠定基础。

## 参考文献:

- [1] 李洪祥,姜保平,肖伟,许利嘉,肖培根. 玫瑰茄近十年的研究进展[J]. 中国现代中药,2017,19(4):587-593.  
LI Hongxiang, JIANG Baoping, XIAO Wei, XU Lijia, XIAO Peigen. A comprehensive review on *Hibiscus sabdariffa* L [J]. Modern Chinese Medicine, 2017, 19(4): 587-593(in Chinese).
- [2] 顾关云,蒋昱. 玫瑰茄的化学成分与生物活性[J]. 现代药物与临床,2010,25(2):109-115.  
GU Guanyun, JIANG Yu. Study on phytochemistry and bioactivities of *Hibiscus sabdariffa* [J]. Drugs & Clinic, 2010, 25(2): 109-115(in Chinese).
- [3] RIAZ G, CHOPRA R. A review on phytochemistry and therapeutic uses of *Hibiscus sabdariffa* L [J]. Biomedicine & Pharmacotherapy, 2018, (102): 575-586.
- [4] DACOSTAROCHA I, BONNLAENDER B, SIEVERS H, PISCHEL I, HEINRICH M. *Hibiscus sabdariffa* L. a phytochemical and pharmacological review[J]. Food Chemistry, 2014, 165(20): 424-443.
- [5] 李升锋,刘学铭,陈智毅,徐玉娟,张友胜,吴继军. 玫瑰茄花萼营养和药理作用研究进展[J]. 食品研究与开发,2006,27(10):129-133.  
LI Shengfeng, LIU Xueming, CHEN Zhiyi, XU Yujuan, ZHANG Yousheng, WU Jijun. Recent advances in the studies on chemical composition and pharmacological functions of *Hibiscus sabdariffa* calyx[J]. Food Research and Development, 2006, 27(10): 129-133(in Chinese).
- [6] 顾关云,蒋昱. 玫瑰茄的药理作用与临床应用[J]. 现代药物与临床,2010,25(3):165-172.  
GU Guanyun, JIANG Yu. Study on pharmacological effects and clinical application of *Hibiscus sabdariffa* [J]. Drugs & Clinic, 2010, 25 (3): 165-172(in Chinese).
- [7] ALI B H, WABEL N A, BLUNDEN G. Phytochemical, pharmacological and toxicological aspects of *Hibiscus sabdariffa* L.: a review[J]. Phytotherapy Research, 2005, 19(5): 369-375.
- [8] RASHEED D M, PORZEL A, FROLOV A, EI SEEDI H R, WEISSJOHANN L A, FARAG M A. Comparative analysis of *Hibiscus sabdariffa* (roselle) hot and cold extracts in respect to their potential for  $\alpha$ -Glucosidase inhibition[J]. Food Chemistry, 2018, (250): 236-244.
- [9] 张赛男. 玫瑰茄的药用价值与利用现状[J]. 现代化农业,2014(12):23-25.
- [10] CID-ORTEGA S, GUERRERO-BELTRÁN J A. Roselle calyces (*Hibiscus sabdariffa*), an alternative to the food and beverages industries: a review[J]. Journal of Food Science & Technology, 2015, 52(11): 1-11.
- [11] 李升锋,刘学铭,朱志伟,黄儒强,吴继军,陈智毅. 玫瑰茄资源的开发利用[J]. 食品科技,2003,(6):86-88.  
LI Shengfeng, LIU Xueming, ZHU Zhiwei, HUANG Ruqiang, WU Jijun, CHEN Zhiyi. Development and utilization of the roselle resource [J]. Food Science and Technology, 2003, (6): 86-88(in Chinese).
- [12] 李玉珠,龙谋,汤艳燕,蒋茜,杜木英. 玫瑰茄浸提及其发酵酒工艺优化及发酵前后有机酸和酚酸的比较[J]. 食品科学,2018,39(4):66-75.  
LI Yuzhu, LONG Mou, TANG Yanyan, JIANG Qian, DU Muying. Optimization of preparation of water extract from roselle and fermentation of roselle wine and variations in organic acids and phenolic acids concentrations[J]. Food Science, 2018, 39(4): 66-75(in Chinese).
- [13] IFIE I, MARSHALL L J, HO P. *Hibiscus sabdariffa* (Roselle) extracts and wine: phytochemical profile, physicochemical properties, and carbohydrase inhibition[J]. Journal of Agricultural and Food Chemistry, 2016, 64(24): 4 921-4 931.
- [14] PARVEEN I, THREADGILL M D, HAUCK B, DONNISON I, WINTERS A. Isolation,

- identification and quantitation of hydroxycinnamic acid conjugates, potential platform chemicals, in the leaves and stems of *Misanthus × giganteus*, using LC-ESI-MS<sup>n</sup> [J]. *Phytochemistry*, 2011, 72(18): 2 376-2 384.
- [15] ZHANG J Y, WANG Z J, LIU Y, LI CH, CAI W, LU J Q, Q Y J. A strategy for comprehensive identification of sequential constituents using ultra-high-performance liquid chromatography coupled with linear ion trap-Orbitrap mass spectrometer, application study on chlorogenic acids in *Flos Lonicerae Japonicae* [J]. *Talanta*, 2016, 147(62): 16-27.
- [16] CLIFFORD M N, JOHNSTON K L, KNIGHT S, KUHNERT N. A hierarchical scheme for LC-MS identification of chlorogenic acid [J]. *Journal of Agricultural & Food Chemistry*, 2003, 51 (10): 2 900-2 911.
- [17] 王放, 张加余, 王青, 刘颖, 王子健, 卢建秋. HPLC-HR-MS<sup>n</sup> 法鉴定苦碟子注射液中酚酸类成分 [J]. 中南药学, 2013, (8): 561-565.  
WANG Fang, ZHANG Jiayu, WANG Qing, LIU Ying, WANG Zijian, LU Jianqiu. Identification of phenolic acids in Kudiezi injection by HPLC-HR-MS<sup>n</sup> [J]. *Central South Pharmacy*, 2013, (8): 561-565(in Chinese).
- [18] 刘思懿, 张秀平, 尚展鹏, 王菲, 张晓昕, 张加余, 卢建秋. UHPLC-LTQ-Orbitrap 鉴定苦碟子注射液化学成分及其在大鼠血浆中的移行成分 [J]. 中国中药杂志, 2016, 41(12): 2 235-2 244.  
LIU Siyi, ZHANG Xiuping, SHANG Zhanpeng, WANG Fei, ZHANG Xiaoxin, ZHAGN Jiayu, LU Jianqiu. Rapid characterization of chemical constituents and rats metabolites of Kudiezi injection by UHPLC-LTQ-Orbitrap [J]. *China Journal of Chinese Materia Medica*, 2016, 41 (12): 2 235-2 244(in Chinese).
- [19] 刘国强, 董静, 王弘, 万乐人, 端裕树, 陈世忠. 4 种儿茶素类化合物电喷雾质谱裂解规律的研究 [J]. *高等学校化学学报*, 2009, 30 (8): 1 566-1 570.  
LIU Guoqiang, DONG Jing, WANG Hong, WAN Leren, DUAN Yushu, CHEN Shizhong. Fragmentation pattern analysis of 4 catechin by electrospray ionization mass spectrometry [J]. *Chemical Journal of Chinese Universities*, 2009, 30(8): 1 566-1 570(in Chinese).
- [20] 李自红, 魏悦, 范毅, 朱杰, 赵天增. 芦丁的电喷雾离子阱质谱分析 [J]. *分析试验室*, 2015, (2): 186-189.  
LI Zihong, WEI Yue, FAN Yi, ZHU Jie, ZHAO Tianzeng. Analysis of rutin by electrospray iontrap mass spectrometry [J]. *Chinese Journal of Analysis Laboratory*, 2015, (2): 186-189(in Chinese).
- [21] 梁艳, 于世锋, 陈卫军, 曹炜. 山奈酚的电喷雾质谱裂解途径 [J]. *应用化学*, 2009, 26(10): 1 250-1 252.  
LIANG Yan, YU Shifeng, CHEN Weijun, CAO Yi. Fragmentation pattern analysis of kaempferol by electrospray ionization mass spectrometry [J]. *Chinese Journal of Applied Chemistry*, 2009, 26 (10): 1 250-1 252(in Chinese).
- [22] 李宇航, 戴海学, 汪明明, 李晓蓉, 王丽娟, 薛明. 槲皮素的电喷雾离子阱质谱分析 [J]. *质谱学报*, 2009, 30(6): 374-378.  
LI Yuhang, DAI Haixue, WANG Mingming, LI Xiaorong, WANG Lijuan, XUE Ming. Elucidation of quercetin by electron spray ionization mass spectrometry [J]. *Journal of Chinese Mass Spectrometry Society*, 2009, 30(6): 374-378(in Chinese).